

УДК 539.375

## МОДЕЛИРОВАНИЕ ЧАСТИЧНОГО ЗАКРЫТИЯ СИСТЕМЫ ЩЕЛЕЙ В ПЕРФОРИРОВАННОЙ ИЗОТРОПНОЙ СРЕДЕ, ПОДКРЕПЛЕННОЙ СТРИНГЕРАМИ

**М. В. Мир-Салим-заде**, канд. физ.-  
мат. наук

[minavar.mirsalimzade@imm.az](mailto:minavar.mirsalimzade@imm.az)

Институт математики и механики  
НАН Азербайджана,  
Азербайджан, AZ1141, г. Баку,  
ул. Ф. Агаева, 9

*На основе методов теории упругости проведено математическое описание модели частичного закрытия системы щелей в перфорированной изотропной среде с инородными поперечными включениями. Такую среду можно рассматривать как перфорированную неограниченную пластину, усиленную системой стрингеров весьма узкого поперечного сечения. Считается, что среда ослаблена периодической системой круговых отверстий и прямолинейных щелей переменной ширины. Переменная ширина щелей сравнима с упругими деформациями. В работе применены метод решения периодической упругой задачи и метод построения в явной форме комплексных потенциалов, соответствующих неизвестным нормальным смещениям вдоль прямолинейных щелей. Строятся общие представления решений, описывающие класс задач с периодическим распределением напряжений вне круговых отверстий и щелей с контактными зонами. Для определения неизвестных контактных напряжений и размеров зон контакта получено сингулярное интегральное уравнение, которое сводится к системе нелинейных алгебраических уравнений. Система алгебраических уравнений решается методом последовательных приближений. В результате найдены контактные напряжения и размеры зон контакта.*

**Ключевые слова:** перфорированная пластина, стрингеры, прямолинейные щели переменной ширины, контактные напряжения, контактные зоны.

### Введение

Проблема закрытия имеющейся в среде трещины представляет большой интерес в теории разрушения. Известно [1–3], что подкрепляющие ребра жесткости помогают затормозить рост трещины и даже добиться ее закрытия. Уменьшая деформацию в направлении, перпендикулярном трещине, подкрепляющие ребра жесткости снижают коэффициент интенсивности напряжений в окрестности конца трещины. В результате возможно появление зоны сжимающих напряжений, достаточных, чтобы берега трещины вошли в контакт. Вопросам деформирования неограниченных пластин, усиленных регулярной системой ребер, поперечные сечения которых представляют собой весьма узкие прямоугольники, посвящена обширная литература [4–9]. Значительное внимание уделялось исследованию разрушения пластины, усиленной регулярной системой стрингеров [10–15]. В отмеченных работах рассматривалась трещина (модель) Гриффитса, т. е. трещина с взаимодействующими кромками, при этом установлено, что коэффициенты интенсивности напряжений при совместном действии растягивающего напряжения и подкрепляющих элементов могут иметь отрицательное значение. Это означает возникновение в окрестности вершин трещин зон сжимающих напряжений, в которых берега трещины на некотором участке входят в контакт, что приводит к появлению контактных напряжений.

Вопросы частичного контактирования берегов щели в подкрепленной пластине к настоящему времени мало изучены. Контакт берегов трещин с учетом переменной ширины рассматривался в работах [16–25]. Основная задача настоящей работы состоит в построении математической модели частичного закрытия щелей переменной ширины в перфорированной изотропной пластине, подкрепленной ребрами жесткости.

### Постановка задачи

Рассмотрим упругую изотропную среду с системой инородных поперечных прямолинейных включений и круговых отверстий. Такую среду можно рассматривать как перфорированную неограниченную пластину, усиленную системой стрингеров весьма узкого поперечного сечения.

Считается, что стрингеры приклепаны к пластине в дискретных точках с постоянным шагом по всей длине стрингера, симметрично относительно поверхности пластины (рис. 1). Материал ребер жесткости принят упругим. На бесконечности усиленная пластина подвержена однородному растяжению вдоль стрингеров напряжением  $\sigma_y^\infty = \sigma_0$ . Контуры круговых отверстий свободны от внешних усилий. Из

контуров отверстий исходят симметричные прямолинейные щели переменной ширины. Принято, что ширина щелей сравнима с упругими деформациями.

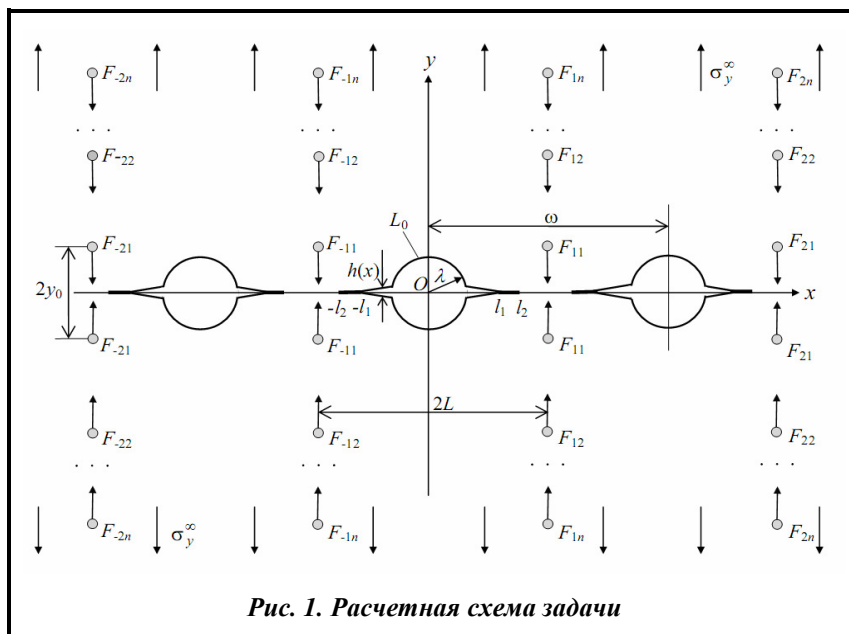


Рис. 1. Расчетная схема задачи

Относительно стрингеров принимается гипотеза об одномерном континууме, т. е. толщина стрингера при деформации считается неизменяемой, а напряженное состояние – одноосным. Стрингеры изгибу не подвергаются и работают только на растяжение. Принимаются следующие допущения: а) в среде (пластине) реализуется плоское напряженное состояние; б) подкрепляющая система стрингеров ферменного типа и ослабление стрингеров за счет постановки точек крепления не учитывается; в) пластина и стрингеры взаимодействуют друг с другом в одной плоскости и только в точках крепления; г) все точки крепления одинаковы и имеют радиус  $a_0$  (площадку сцепления), малый по сравнению с их шагом и другими характерными размерами. Действие точек крепления заменяется действием эквивалентных неизвестных сосредоточенных сил, приложенных в точках, соответствующих центрам точек крепления.

Пусть имеется усиленная изотропная среда с периодической системой круговых отверстий с радиусом  $\lambda$  ( $\lambda < 1$ ) и центрами в точках

$$P_m = m\omega \quad (m = \pm 1, \pm 2, \dots), \quad \omega = 2.$$

Под действием внешней растягивающей нагрузки  $\sigma_0$  и неизвестных сосредоточенных сил  $F_{mn}$  ( $m, n = \pm 1, \pm 2, \dots$ ) берега щелей в области сжимающих напряжений на некоторых участках войдут в контакт, где возникнут контактные напряжения. Вне этих участков берега щелей будут свободны от нагрузок. Область контакта между берегами щелей заранее неизвестна, но очевидно, что всегда будет начинаться с концевых точек щелей, находящихся в области сжимающих напряжений. Считается, что неизвестный размер участков контакта сравним с длиной щелей. Таким образом, поставленная задача является задачей теории упругости с неизвестной границей, которую требуется определить в ходе решения.

Рассматриваемая задача состоит в разработке математической модели, позволяющей определить участки контакта, контактные напряжения на участках контакта, величины сосредоточенных сил, напряженно-деформированное состояние среды вне круговых отверстий и щелей.

Граничные условия на берегах щелей имеют вид

$$\sigma_y = 0, \quad \tau_{xy} = 0 \quad \text{на } L', \quad \sigma_y = p(x), \quad \tau_{xy} = 0, \quad v^+(x,0) - v^-(x,0) = -h(x) \quad \text{на } L'', \quad (1)$$

на контурах круговых отверстий

$$\sigma_r - i\tau_{r\theta} = 0.$$

Здесь  $L'$  – совокупность зон щелей, свободных от нагрузок;  $L''$  – совокупность концевых зон контакта;  $v^+(x,0) - v^-(x,0)$  – раскрытие берегов щели;  $h(x)$  – ширина щелей;  $\sigma_x, \sigma_y, \tau_{xy}$  – компоненты тензора напряжений;  $u, v$  – составляющие вектора смещения по осям  $x, y$  соответственно;  $i^2 = -1$ .

В силу симметрии граничных условий и геометрии области  $D$ , занятой средой, напряжения являются периодическими функциями с основным периодом  $\omega$ . На основании формул Колосова – Мусхелишвили [26] и граничных условий на контурах круговых отверстий и берегах щелей задача сводится к определению двух аналитических в области  $D$  функций  $\Phi(z)$  и  $\Psi(z)$  из условий

$$\Phi(\tau) + \overline{\Phi(\tau)} - [\overline{\tau}\Phi'(\tau) + \Psi(\tau)]e^{2i\theta} = 0, \quad \Phi(x) + \overline{\Phi(x)} + x\overline{\Phi'(x)} + \overline{\Psi(x)} = f, \quad (2)$$

где  $\tau = \lambda e^{i\theta} + m\omega$  ( $m = \pm 1, \pm 2, \dots$ );  $x$  – аффикс точек берегов щели;  $f = 0$  на  $L'$  и  $f = p(x)$  на  $L''$ .

### Решение краевой задачи

Решение краевой задачи (1)–(2) ищем в виде

$$\Phi(z) = \Phi_0(z) + \Phi_1(z) + \Phi_2(z), \quad \Psi(z) = \Psi_0(z) + \Psi_1(z) + \Psi_2(z). \quad (3)$$

Здесь комплексные потенциалы  $\Phi_0(z)$  и  $\Psi_0(z)$  определяют поле напряжений и деформаций в сплошной подкрепленной пластине под действием растягивающего напряжения  $\sigma_0$  и сосредоточенных сил  $F_{mn}$  и определяются следующими формулами:

$$\Phi_0(z) = \frac{1}{4}\sigma_0 - \frac{i}{2\pi h_*(1+\kappa)} \sum'_{m,n} F_{mn} \left( \frac{1}{C_1} - \frac{1}{C_2} \right), \quad (4)$$

$$\Psi_0(z) = \frac{1}{2}\sigma_0 - \frac{i\kappa}{2\pi h_*(1+\kappa)} \sum'_{m,n} F_{mn} \left( \frac{1}{C_1} - \frac{1}{C_2} \right) + \frac{i}{2\pi h_*(1+\kappa)} \sum'_{m,n} F_{mn} \left( \frac{\overline{C_3}}{C_2^2} - \frac{C_3}{C_1^2} \right).$$

где  $h_*$  – толщина пластины;  $\kappa = (3-\nu)/(1+\nu)$ ;  $\nu$  – коэффициент Пуассона материала пластины;  $C_1 = z - mL + iny_0$ ;  $C_2 = z - mL - iny_0$ ;  $C_3 = mL + iny_0$ . Штрих у суммы указывает на то, что при суммировании исключается индекс  $m=n=0$ .

Функции  $\Phi_1(z)$  и  $\Psi_1(z)$ , соответствующие неизвестным нормальным смещениям вдоль щели, ищем в явной форме

$$\Phi_1(z) = \frac{1}{2\omega} \int_{L_1} g(t) \operatorname{ctg} \frac{\pi}{\omega} (t-z) dt, \quad (5)$$

$$\Psi_1(z) = -\frac{\pi z}{2\omega^2} \int_{L_1} g(t) \sin^{-2} \frac{\pi}{\omega} (t-z) dt, \quad L_1 = [-l_2, -\lambda] + [\lambda, l_2].$$

Искомая функция  $g(x)$  описывает производную раскрытия берегов щели

$$g(x) = \frac{2\mu}{1+\kappa} \frac{\partial}{\partial x} [v^+(x,0) - v^-(x,0)],$$

где  $\mu$  – модуль сдвига материала подкрепленной пластины.

Для нахождения комплексных потенциалов  $\Phi_2(z)$  и  $\Psi_2(z)$  представим первое из граничных условий (2)

$$\Phi_2(\tau) + \overline{\Phi_2(\tau)} - [\overline{\tau}\Phi_2'(\tau) + \Psi_2(\tau)]e^{2i\theta} = f_1(\theta) + if_2(\theta) + \phi_1(\theta) + i\phi_2(\theta), \quad (6)$$

где  $f_1(\theta) + if_2(\theta) = -\Phi_0(\tau) - \overline{\Phi_0(\tau)} + [\overline{\tau}\Phi_0'(\tau) + \Psi_0(\tau)]e^{2i\theta}$ ,  $\phi_1(\theta) + i\phi_2(\theta) = -\Phi_1(\tau) - \overline{\Phi_1(\tau)} + [\overline{\tau}\Phi_1'(\tau) + \Psi_1(\tau)]e^{2i\theta}$ .

Для решения краевой задачи (6) комплексные потенциалы  $\Phi_2(z)$  и  $\Psi_2(z)$  ищем в виде

$$\Phi_2(z) = \alpha_0 + \sum_{k=0}^{\infty} \alpha_{2k+2} \frac{\lambda^{2k+2} \rho^{(2k)}(z)}{(2k+1)!}, \quad (7)$$

$$\Psi_2(z) = \sum_{k=0}^{\infty} \beta_{2k+2} \frac{\lambda^{2k+2} \rho^{(2k)}(z)}{(2k+1)!} - \sum_{k=0}^{\infty} \alpha_{2k+2} \frac{\lambda^{2k+2} S^{(2k+1)}(z)}{(2k+1)!}.$$

Здесь  $\rho(z) = \left(\frac{\pi}{\omega}\right)^2 \sin^{-2}\left(\frac{\pi}{\omega}z\right) - \frac{1}{3}\left(\frac{\pi}{\omega}\right)^2$ ,  $S(z) = \sum_{m,n} \left[ \frac{P_m}{(z - P_m)^2} - \frac{2z}{P_m^2} - \frac{1}{P_m} \right]$ .

Из условий симметрии относительно координатных осей находим, что

$$\operatorname{Im} \alpha_{2k+2} = 0, \quad \operatorname{Im} \beta_{2k+2} = 0 \quad k = 0, 1, 2, \dots$$

Соотношения (3)–(5), (7) определяют класс симметричных задач с периодическим распределением напряжений. Из условия постоянства главного вектора всех сил, действующих на дугу, соединяющую две конгруэнтные точки в области  $D$ , следует

$$\alpha_0 = \frac{\pi^2}{24} \beta_2 \lambda^2.$$

Неизвестные коэффициенты  $\alpha_{2k}$ ,  $\beta_{2k}$  должны быть определены из краевого условия (6). Относительно функций  $f_1(\theta) + if_2(\theta)$  и  $\varphi_1(\theta) + i\varphi_2(\theta)$  будем считать, что они разлагаются на контуре  $|\theta| = \lambda$  в ряды Фурье, имеющие в силу симметрии задачи вид

$$f_1(\theta) + if_2(\theta) = \sum_{k=-\infty}^{\infty} A_{2k} e^{2ik\theta}, \quad \operatorname{Im} A_{2k} = 0, \tag{8}$$

$$A_{2k} = \frac{1}{2\pi} \int_0^{2\pi} [f_1(\theta) + if_2(\theta)] e^{-2ik\theta} d\theta \quad (k = 0, \pm 1, \pm 2, \dots),$$

$$\varphi_1(\theta) + i\varphi_2(\theta) = \sum_{k=-\infty}^{\infty} B_{2k} e^{2ik\theta}, \quad \operatorname{Im} B_{2k} = 0, \tag{9}$$

$$B_{2k} = \frac{1}{2\pi} \int_0^{2\pi} [\varphi_1(\theta) + i\varphi_2(\theta)] e^{-2ik\theta} d\theta \quad (k = 0, \pm 1, \pm 2, \dots).$$

Неизвестная функция  $g(x)$  и коэффициенты  $\alpha_{2k}$ ,  $\beta_{2k}$  функций  $\Phi_2(z)$ ,  $\Psi_2(z)$  должны быть определены из краевых условий (2) и (6). В силу периодичности задачи граничные условия (6) вырождаются в одно функциональное уравнение, например, на контуре  $\tau = \lambda e^{i\theta}$ , а система условий (2) – в граничное условие в основном периоде. Для составления уравнений относительно коэффициентов  $\alpha_{2k}$ ,  $\beta_{2k}$  функции  $\Phi_2(z)$ ,  $\Psi_2(z)$  разлагаем в ряды Лорана в окрестности точки  $z = 0$ . Подставим на контуре  $z = \lambda \exp(i\theta)$  в левую часть граничного условия (6) вместо функций  $\Phi_2(z)$ ,  $\Psi_2(z)$  их разложения в ряды Лорана в окрестности нулевой точки, а в правую часть вместо функций  $f_1(\theta) + if_2(\theta)$  и  $\varphi_1(\theta) + i\varphi_2(\theta)$  – соответственно ряды Фурье (8) и (9). Сравнив коэффициенты при одинаковых степенях  $\exp(i\theta)$ , получим две бесконечные системы алгебраических уравнений относительно коэффициентов  $\alpha_{2k}$ ,  $\beta_{2k}$ . После некоторых преобразований приходим к бесконечной системе линейных алгебраических уравнений относительно  $\alpha_{2k+2}$

$$\alpha_{2j+2} = \sum_{k=0}^{\infty} A_{j,k} \alpha_{2k+2} + b_j \quad (j = 0, 1, 2, \dots), \tag{10}$$

$$b_0 = M_2 - \sum_{k=0}^{\infty} \frac{g_{k+2} \lambda^{2k+4}}{2^{2k+4}} M_{-2k-2},$$

$$b_j = M_{2j+2} - \frac{(2j+1)M_0 g_{j+1} \lambda^{2j+2}}{K_1 2^{2j+2}} - \sum_{k=0}^{\infty} \frac{(2j+2k+3) g_{j+k+2} \lambda^{2j+2k+4}}{(2j)!(2k+3)! 2^{2j+2k+4}} M_{-2k-2},$$

$$A_{j,k} = (2j+1) \gamma_{j,k} \lambda^{2j+2k+2}, \quad g_j = 2 \sum_{m=1}^{\infty} \frac{1}{m^{2j}},$$

$$\gamma_{0,0} = \frac{3}{8} g_2 \lambda^2 + \sum_{i=1}^{\infty} \frac{(2i+1) g_{i+1}^2 \lambda^{4i+2}}{2^{4i+4}},$$

$$\gamma_{j,k} = -\frac{(2j+2k+2)!g_{k+j+1}}{(2j+1)!(2k+1)!2^{2j+2k+2}} + \frac{(2j+2k+4)!g_{j+k+2}\lambda^2}{(2j+2)!(2k+2)!2^{2j+2k+4}} +$$

$$+ \sum_{i=0}^{\infty} \frac{(2j+2i+1)!(2k+2i+1)!g_{j+i+1}g_{k+i+1}\lambda^{4i+2}}{(2j+1)!(2k+1)!(2i+1)!(2i)!2^{2j+2k+4i+4}} + b_{j,k},$$

$$b_{0,k} = 0, \quad b_{j,0} = 0, \quad b_{j,k} = \frac{g_{j+1}g_{k+1}\lambda^2}{2^{2j+2k+4}} \left(1 - \frac{\pi^2\lambda^2}{12}\right)^{-1} \quad (j, k = 1, 2, \dots),$$

$$M_{2k} = A_{2k} + B_{2k}.$$

Постоянные  $\beta_{2k+2}$  определяются из следующих соотношений:

$$\beta_2 = \left[1 - \frac{\pi^2\lambda^2}{12}\right]^{-1} \left[-M_0 + 2 \sum_{k=0}^{\infty} \frac{g_{k+1}\lambda^{2k+2}}{2^{2k+2}} \alpha_{2k+2}\right], \quad (11)$$

$$\beta_{2j+4} = (2j+3)\alpha_{2j+2} + \sum_{k=0}^{\infty} \frac{(2j+2k+3)!g_{j+k+2}\lambda^{2j+2k+4}}{(2j+2)!(2k+1)!2^{2j+2k+4}} \alpha_{2k+2} - M_{-2j-2}.$$

Требуя, чтобы функции (3) удовлетворяли краевому условию (1), получаем после некоторых преобразований сингулярное интегральное уравнение относительно функции  $g(x)$

$$\frac{1}{\omega} \int_{L_1} g(t) \operatorname{ctg} \frac{\pi}{\omega} (t-x) dt + H(x) = f(x). \quad (12)$$

Здесь  $H(x) = \Phi_0(x) + \Phi_2(x) + \overline{\Phi_0(x)} + \overline{\Phi_2(x)} + x\Phi'_0(x) + x\Phi'_2(x) + \Psi_0(x) + \Psi_2(x)$ .

Сингулярное интегральное уравнение (12), а также алгебраические системы (10), (11) содержат неизвестные величины сосредоточенных сил  $F_{mn}$  ( $m = 1, 2, \dots; n = 1, 2, \dots$ ). Для их определения используем закон Гука и метод склеивания двух асимптотик искомого решения. Согласно закону Гука величина сосредоточенной силы  $F_{mn}$ , действующей на каждую точку крепления со стороны стрингера

$$F_{mn} = \frac{E_S A_S}{2y_0 n} \Delta v_{m,n} \quad (m = 1, 2, \dots; n = 1, 2, \dots),$$

где  $E_S$  – модуль Юнга материала стрингеров;  $A_S$  – площадь поперечного сечения стрингера;  $2y_0 n$  – расстояние между точками крепления;  $\Delta v_{m,n}$  – взаимное смещение рассматриваемых точек крепления, равное удлинению соответствующего участка стрингера.

Будем полагать, что взаимное упругое смещение точек  $z = mL + i(ny_0 - a_0)$  и  $z = mL - i(ny_0 - a_0)$  равно взаимному смещению точек крепления  $\Delta v_{m,n}$ . Это дополнительное условие совместности перемещений позволяет эффективно отыскать решение поставленной задачи. С помощью комплексных потенциалов (3)–(5), (7) и формулы Колосова – Мухелишвили для перемещений [26], после выполнения элементарных выкладок, взаимное смещение  $\Delta v_{m,n}$  находим в следующем виде:

$$\Delta v_{p,r} = \Delta v_{p,r}^{(0)} + \Delta v_{p,r}^{(1)} + \Delta v_{p,r}^{(2)}. \quad (13)$$

Ввиду некоторой громоздкости величины  $\Delta v_{p,r}^{(0)}$ ,  $\Delta v_{p,r}^{(1)}$  и  $\Delta v_{p,r}^{(2)}$  не приводятся.

Искомая величина силы  $F_{mn}$  определяется с помощью формул (13) из бесконечной системы

$$F_{pr} = \frac{E_S A_S}{2y_0 n} \Delta v_{p,r} \quad (p = 1, 2, \dots; r = 1, 2, \dots), \quad (14)$$

вырождающейся из-за периодичности задачи в одну бесконечную алгебраическую систему.

Полученное уравнение (14), алгебраические системы (10), (11) и сингулярное интегральное уравнение (12) связаны и должны решаться совместно. Решая их совместно с условием отсутствия раскрытия берегов щелей в концевой зоне контакта и учитывая условие ограниченности контактных напряжений, найдем искомую функцию  $p(x)$ , величины  $F_{mn}$  и зону контакта берегов щелей.

**Численное решение и его анализ**

Используя разложение  $\frac{\pi}{\omega} \operatorname{ctg} \frac{\pi}{\omega} z = \frac{1}{z} - \sum_{j=0}^{\infty} g_{j+1} \frac{z^{2j+1}}{\omega^{2j+2}}$ , уравнение (12) приведем к обычной форме

$$\frac{1}{\pi} \int_{L_1} \frac{g(t)}{t-x} dt + \frac{1}{\pi} \int_{L_1} g(t)K(t-x)dt + H(x) = f(x), \quad K(t) = -\sum_{j=0}^{\infty} g_{j+1} \frac{t^{2j+1}}{\omega^{2j+2}}. \quad (15)$$

Учитывая, что  $g(x) = -g(-x)$  и делая замену переменных, уравнение (15) приводим к стандартному виду

$$\frac{1}{\pi} \int_{-1}^1 \frac{g_*(\tau)}{\tau-\eta} d\tau + \frac{1}{\pi} \int_{-1}^1 g_*(\tau)B(\eta, \tau) d\tau + H_*(\eta) = f_*(\eta), \quad (16)$$

$$g_*(\tau) = g(\xi), \quad H_*(\eta) = H(\xi_0), \quad f_*(\eta) = f(\xi_0),$$

$$B(\eta, \tau) = -\frac{1-\lambda_1^2}{2} \sum_{j=0}^{\infty} g_{j+1} \left(\frac{l_2}{2}\right)^{2j+2} \cdot u_0^j A_j^*,$$

$$A_j^* = (2j+1) + \frac{(2j+1)(2j)(2j-1)}{1 \cdot 2 \cdot 3} \left(\frac{u}{u_0}\right) + \dots + \frac{(2j+1)(2j)(2j-1) \dots [(2j+1) - (2j+1-1)]}{1 \cdot 2 \cdot 3 \dots (2j+1)} \left(\frac{u}{u_0}\right)^j.$$

Для построения решения сингулярного интегрального уравнения (16) используется метод прямого решения таких уравнений [27, 28]. Сингулярное интегральное уравнение (16), кроме особенности в ядре Коши, имеет неподвижную особенность в точке выхода щели на поверхность кругового отверстия. Функция  $g(x)$  имеет в таких точках  $x = \pm \lambda$  особенность, отличающуюся от корневой. Характер этой осо-

бенности можно установить из анализа интегрального уравнения (16) [29]. Интеграл  $\int_{\lambda}^l g(t)dt$ , в отличие от случая внутренней щели, равен постоянной, отличной от нуля, которая выражается через раскрытие щели на поверхности кругового отверстия и должна быть определена после решения сингулярного интегрального уравнения (16).

Из-за громоздкости выражений для функций, входящих в сингулярное интегральное уравнение, установление истинной особенности функции  $g_*(\eta)$  на конце затруднительно (16). Поэтому для его численного решения используется упрощенный численный метод [27, 28, 30]. Представим решение в виде

$$g_*(\eta) = g_0(\eta)\sqrt{1-\eta^2},$$

где  $g_0(\eta)$  – неизвестная регулярная функция.

С помощью квадратурных формул уравнение (16) можно свести к системе  $M + 1$  алгебраических уравнений

$$\sum_{m=1}^M \frac{g_0(\tau_m)}{M+1} \sin^2 \frac{\pi m}{M+1} \left[ \frac{1}{\tau_m - \eta_r} + B(\tau_m, \eta_r) \right] = \pi [f_*(\eta_r) - H_*(\eta_r)]. \quad (17)$$

$$\text{Здесь } \tau_m = \cos \frac{\pi m}{M+1} \quad (m = 1, 2, \dots, M), \quad \eta_r = \cos \frac{2r-1}{2(M+1)} \pi \quad (r = 1, 2, \dots, M+1).$$

Полученная алгебраическая система (17) обеспечивает удовлетворение дополнительного условия, при котором существует решение в классе всюду ограниченных функций [29]. В правые части системы (17) входят неизвестные значения контактных напряжений  $f_*(\eta_m)$  в узловых точках, принадлежащих концевой зоне контакта.

Условием, определяющим неизвестные контактные напряжения, возникающие на берегах щелей в концевых зонах контакта, является отсутствие раскрытия щелей в этих зонах (второе условие на  $L'$ ). В рассматриваемой задаче это дополнительное условие удобнее записать для производной раскрытия перемещений берегов щели

$$g(x) = \frac{2\mu}{1 + \kappa} \frac{\partial}{\partial x} [v^+(x,0) - v^-(x,0)] = -\frac{2\mu}{1 + \kappa} h'(x), \quad (18)$$

где  $x$  – абсцисса точек берегов концевой контактной зоны щели  $(l_1, l_2)$ .

Требую выполнения условий (18) в узловых точках, содержащихся в концевой зоне контакта  $(l_1, l_2)$ , получим недостающие уравнения для определения приближенных значений контактных напряжений  $p(t_{m_1})$  в узловых точках

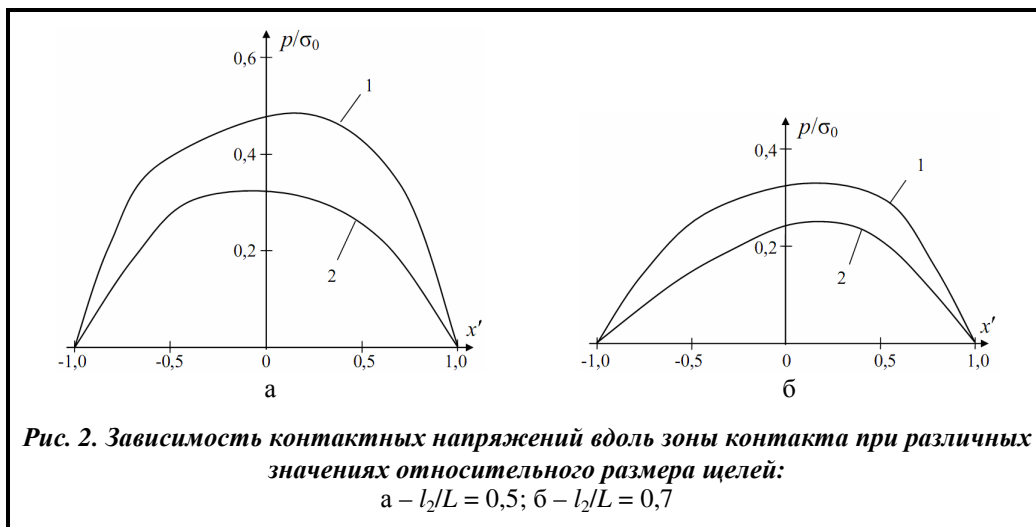
$$g(t_{m_1}) = -\frac{2\mu}{1 + \kappa} h'(t_{m_1}) \quad m_1 = 1, 2, \dots, M_1. \quad (19)$$

Из-за неизвестного размера концевой контактной зоны объединенная алгебраическая система, состоящая из (10), (11), (14), (17), (19), является нелинейной. Полученные системы уравнений относительно  $\alpha_{2k}, \beta_{2k}, g_k^0, F_{mm}, p(t_{m_1})$  и  $l_2$  позволяют при заданной внешней растягивающей нагрузке найти напряженно-деформированное состояние перфорированной стрингерной пластины при наличии щелей с частично контактирующими берегами, контактные напряжения, а также размер концевой зоны контакта. Алгебраические системы (10), (11), (14), (17), (19) решались методом последовательных приближений следующим образом. Решалась система из уравнений (10), (11), (14), (19) и  $M$  уравнений системы (17) относительно неизвестных  $\alpha_{2k}, \beta_{2k}, g_1^0, g_2^0, \dots, g_M^0, p_1, p_2, \dots, p_{M_1}$  и  $N_1 \times N_2$  неизвестных сосредоточенных сил при некотором значении  $l_{2*}$ . Далее найденные величины и значения  $l_{2*}$  подставлялись в неиспользованное уравнение объединенной системы, т. е. в  $M + 1$  уравнение системы (17). Поскольку этому уравнению выбранное значение параметра  $l_{2*}$  и соответствующие ему значения  $\alpha_{2k}, \beta_{2k}, g_1^0, g_2^0, \dots, g_M^0, p_1, p_2, \dots, p_{M_1}$  и сосредоточенных сил, вообще говоря, удовлетворять не будут, то, подбирая новые значения параметра  $l_{2*}$ , вычисления повторяются до тех пор, пока это уравнение не будет удовлетворено с заданной точностью.

Были проведены расчеты в зависимости от геометрических параметров задачи при  $\nu = 0,3$ ;  $\epsilon_1 = a_0/L = 0,01$ ;  $\epsilon = y_0/L = 0,25$ ;  $E = 7,1 \cdot 10^4$  МПа (сплав В95);  $E_s = 11,5 \cdot 10^4$  МПа (композит А1-сталь),  $A_s/y_0h = 1$ . Число стрингеров и точек крепления принималось конечным: 6, 10, 14. Проведен параметрический анализ зависимости контактных напряжений  $p(x)$  от размера щелей и других геометрических параметров задачи. Результаты расчетов контактных напряжений  $p/\sigma_0$  для разных значений длин щелей вдоль концевой зоны представлены на рис. 2. Кривая 1 соответствует значению радиуса отверстий  $\lambda = 0,3$ ; кривая 2 –  $\lambda = 0,5$ . При расчетах были использованы безразмерные координаты  $x'$

$$x = \frac{l_2 + l_1}{2} + \frac{l_2 - l_1}{2} x'.$$

Наибольшие значения контактных напряжений находятся в средней части контактной зоны, где берега щели смыкаются.



## Выводы

Анализ модели частичного закрытия щелей переменной ширины в перфорированной изотропной пластине, подкрепленной стрингерами, сведен к параметрическому совместному исследованию алгебраических систем (10), (11), (14), (17), (19) при различных геометрических и физических параметрах пластины. Полученные соотношения позволяют решать обратную задачу, т. е. определить характеристики усиления перфорированной пластины и ее напряженное состояние, при которых достигается заданная область контакта берегов щелей.

## Литература

1. Финкель В. М. Физические основы торможения разрушения. М.: Металлургия, 1977. 360 с.
2. Партон В. З., Морозов Е. М. Механика упруго-пластического разрушения. М.: Наука, 1985. 504 с.
3. Мирсалимов В. М. Некоторые задачи конструкционного торможения трещин. *Физико-хим. механика материалов*. 1986. Т. 22. № 1. С. 94–98.
4. Толкачев В. М. Передача нагрузки от стрингера конечной длины к бесконечной и полубесконечной пластине. *Докл. АН СССР*. 1964. Т. 154. №4. С.86–88.
5. Долгих В. Н., Фильштинский Л. А. Об одной модели регулярной кусочно-однородной среды. *Изв. АН СССР. Механика твердого тела*. 1976. №2. С. 158–164.
6. Ванин Г. А. Микромеханика композиционных материалов. Киев: Наук. думка. 1985. 302 с.
7. Броек Д. Основы механики разрушения. М.: Высш. шк., 1980. 368 с.
8. Черепанов Г. П. Механика разрушения композиционных материалов. М.: Наука, 1983. 296 с.
9. Максименко В. Н. Влияние приклепанных ребер жесткости на развитие трещин возле отверстия. *Прикл. механика и техн. физика*. 1988. Т. 29. №2. С. 133–140.
10. Savruk M. P., Kravets V. S. Reinforcement of a thin cracked plate by a system of parallel stringers. *Materials Sci.* 1994. Vol. 30. Iss. 1. P. 95–104.
11. Savruk M. P., Kravets V. S. Two-dimensional problems of the theory of elasticity for reinforced cracked plates. *Materials Sci.* 1995. Vol. 31. Iss. 3. P. 350–362.
12. Savruk M. P., Kravets V. S. Effect of breaks in riveted stringers on the elastic and limiting equilibrium of a cracked plate. *Materials Sci.* 1999. Vol. 35. Iss. 3. P. 339–348.
13. Мир-Салим-заде М. В. Трещина со связями между берегами в изотропной среде, усиленной регулярной системой стрингеров. *Механика композит. материалов*. 2005. Т. 41. №6. С. 773–782.
14. Мир-Салим-заде М. В. Разрушение изотропной среды, усиленной регулярной системой стрингеров. *Механика композит. материалов*. 2007. Т. 51. №1. С. 59–72.
15. Мирсалимов В. М., Мустафаев А. Б. Точное решение контактной задачи о частичном взаимодействии берегов щели переменной ширины при действии температурного поля. *Проблемы машиностроения*. 2014. Т. 17. № 3. С. 33–37.
16. Мустафаев А. Б. Взаимодействие берегов щели переменной ширины при изгибе полосы (балки) под воздействием температурного поля. *Механика машин, механизмов и материалов*. 2014. №3. С. 30–36.
17. Мирсалимов В. М., Мустафаев А. Б. Решение задачи о частичном контактировании берегов щели переменной ширины под действием температурного поля. *Физико-хим. механика материалов*. 2015. Т. 51. №1. С. 86–92.
18. Mirsalimov V. M., Mustafayev A. B. A contact problem on partial interaction of faces of a variable thickness slot under the influence of temperature field. *Mechanika*. 2015. Vol. 21. Iss. 1. P. 19–22.
19. Mirsalimov V. M. Simulation of partial closure of a variable width slot with interfacial bonds in end zones in an isotropic medium. *Int. J. Damage Mech.*. – 2016. Vol. 25. Iss. 2. P. 266–279.
20. Мир-Салим-заде М. В. Закрытие щели, исходящей из контура кругового отверстия в стрингерной пластине. *Вестн. Чуваш. пед. ун-та им. И. Я. Яковлева. Сер. Механика предельного состояния*. 2016. № 1(27). С.78–89.
21. Мир-Салим-заде М. В. Частичный контакт берегов щели переменной ширины в подкрепленной стрингерами пластине. *Физико-хим. механика материалов*. 2016. Т. 52. № 3. С. 29–34.
22. Гасанов Ш. Г. Решение контактной задачи для плоскости, ослабленной щелью переменной ширины, в неоднородном напряженном поле. *Проблемы машиностроения*. 2017. Т. 20. № 2. С. 29–36.
23. Mir-Salim-zade M. V. Contact problem for a stringer plate weakened by a periodic system of variable width slots. *Structural Eng. and Mech.* 2017. Vol. 62. № 6. P. 719–724.
24. Мустафаев А. Б. Замедление роста щели переменной ширины под действием температурного поля. *Прикл. механика и техн. физика*. 2017. Т. 58. № 1. С. 168–176.
25. Мухелишвили Н. И. Некоторые основные задачи математической теории упругости. М.: Наука, 1966. 707 с.
26. Панасюк В. В., Саврук М. П., Дацьшин А. П.. Распределение напряжений около трещин в пластинах и оболочках. Киев: Наук. думка, 1976. 444 с.



27. Ladopoulos E. G. Singular Integral Equations, Linear and Non-Linear Theory and its Applications in Science and Engineering. Berlin: Springer Verlag, 2000. 552 p.
28. Мухелишвили Н. И. Сингулярные интегральные уравнения. М.: Наука, 1968. 512 с.
29. Мирсалимов В. М. Неодномерные упругопластические задачи. М.: Наука, 1987. 256 с.
30. Savruk M. P., Kazberuk A. Stress concentration at notches. Springer International Publishing, 2017. 498 p.

*Поступила в редакцию 24.05.2018*